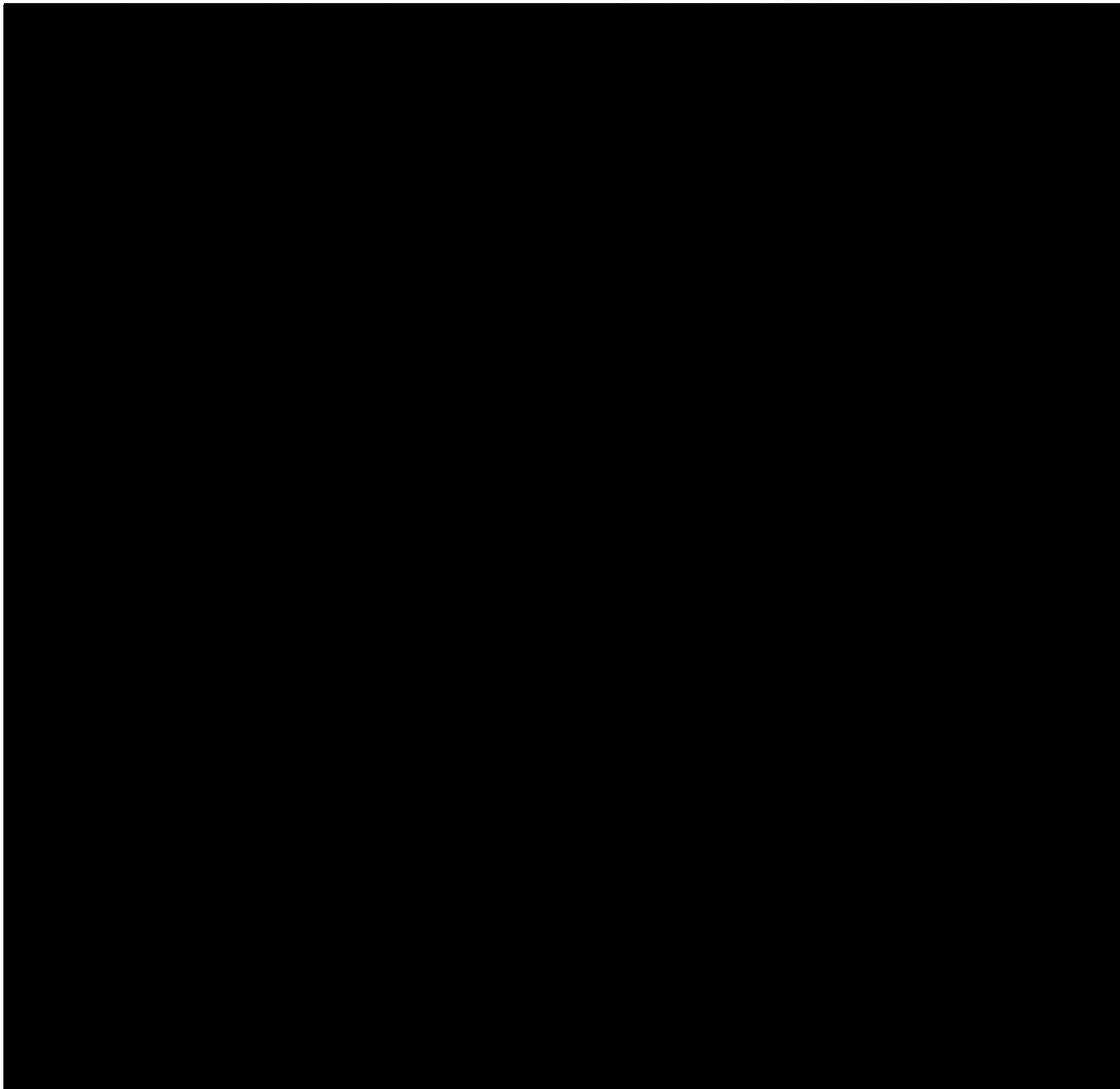


Instituto Tecnológico
GeoMinero de España

**"ENSAYO METODOLOGICO DE PROSPECCION GEOQUIMICA DE
ORO Y TIERRAS RARAS EN LOS "SKARNS" DEL AREA DE
BURGUILLOS DEL CERRO (BADAJOZ)"**

Estudio financiado por el proyecto I+D de la CICYT nº AMB92-918-CO2-O2

Vol. 2: FIGURAS Y TABLAS



Ministerio de Medio Ambiente

JUNIO 1997

11414

RELACION DE FIGURAS Y TABLAS

Figuras de los apartados "Entorno Geológico" y "Campaña de muestreo"

- Fig. 1 - Geología del área estudiada
- Fig. 2 - Situación de indicios mineros
- Fig. 3 - Red hidrográfica del área de Burguillos del Cerro
- Fig. 4 - Situación y signatura de las estaciones de muestreo

Figuras y Tablas de "Resultados de la prospección geoquímica con sedimentos de la red de drenaje"

Análisis mono y bivalente

- Tabla 1 - Parámetros estadísticos monoelementales (sedimentos)
- Tabla 2 - Matriz de correlación (sedimentos)
- Tabla 2' - Matriz de correlación sobre valores logarítmicos (sedimentos)
- Fig. 5 - Correlaciones del Au con As, Pb, Sb y U (sedimentos)
- Fig. 6 - Factor de concentración de las TR Ligeras y su correlación con el Au (sedimentos)
- Fig. 7 - Factor de concentración de las TR Pesadas y su correlación con el Au (sedimentos)

Cartografía geoquímica monoelemental

- Fig. 8 - Distribución del Au (sedimentos)
- Fig. 9 - Distribución del Eu (sedimentos)
- Fig. 10 - Distribución del Sm (sedimentos)
- Fig. 11 - Distribución del Tb (sedimentos)
- Fig. 12 - Distribución del Nd (sedimentos)
- Fig. 13 - Distribución del Y (sedimentos)
- Fig. 14 - Distribución del Sc (sedimentos)
- Fig. 15 - Distribución del Lu (sedimentos)
- Fig. 16 - Distribución del Yb (sedimentos)
- Fig. 17 - Distribución del La (sedimentos)
- Fig. 18 - Distribución del Ce (sedimentos)
- Fig. 19 - Factores de enriquecimiento para dos grupos de TR (sedimentos)

Muestras anómalas

- Fig. 20 - Muestras anómalas para Au (sedimentos)
- Fig. 21 - Muestras anómalas para Lu (sedimentos)
- Fig. 22 - Muestras anómalas para Yb (sedimentos)
- Fig. 23 - Muestras anómalas para La (sedimentos)
- Fig. 24 - Muestras anómalas para Ce (sedimentos)
- Fig. 25 - Muestras anómalas para Eu (sedimentos)
- Fig. 26 - Muestras anómalas para Sm (sedimentos)
- Fig. 27 - Muestras anómalas para Nd (sedimentos)
- Fig. 28 - Muestras anómalas para Tb (sedimentos)
- Fig. 29 - Muestras anómalas para Y (sedimentos)

Análisis Multivariante

- Tabla 3 - Resultado del Análisis Factorial (sedimentos)

- Fig. 30 - Distribución del Factor 1
Fig. 31 - Distribución del Factor 2
Fig. 32 - Distribución del Factor 3
Fig. 33 - Distribución del Factor 4

Formación de clases geoquímicas. Análisis Cluster

- Fig. 34 - Distribución de las clases geoquímicas
Tablas 5 - Clase 1 (sedimentos): litologías del encajante
 a) Parámetros estadísticos
 b) Matriz de correlación
Tablas 6 - Clase 2 (sedimentos): Serie Negra - niveles cuarcíticos
 a) Parámetros estadísticos
 b) Matriz de correlación
Tablas 7 - Clase 3 (sedimentos): CPBC - diferenciados básicos

Figuras y Tablas del "Resultado de la exploración en base a los datos del estudio mineralométrico"

Análisis mono y bivalente

- Tabla 8 - Parámetros estadísticos monoelementales (mineralometría)
Tabla 9 - Matriz de correlación - valores naturales (mineralometría)
Tabla 9' - Matriz de correlación - valores logarítmicos (mineralometría)

Distribuciones monominerales

- Fig. 35 - Mapa de distribución mineralométrica de magnetita
Fig. 36 - Mapa de distribución mineralométrica de ilmenita
Fig. 37 - Mapa de distribución mineralométrica de hornblenda
Fig. 38 - Mapa de distribución mineralométrica de biotita
Fig. 39 - Mapa de distribución mineralométrica de circón
Fig. 40 - Mapa de distribución mineralométrica de hematites
Fig. 41 - Mapa de distribución mineralométrica de granates
Fig. 42 - Mapa de distribución mineralométrica de monacita
Fig. 43 - Mapa de distribución mineralométrica de allanita
Fig. 44 - Mapa de distribución mineralométrica de oro

Análisis multivariante

- Fig. 45 - Distribución del Factor 1 (mineralometría)
Fig. 46 - Distribución del Factor 2 (mineralometría)
Fig. 47 - Distribución del Factor 3 - negativo (mineralometría)

Formación de clases geoquímicas. Análisis Cluster

- Fig. 48 - Distribución de las clases geoquímicas (mineralometría)

Figuras y Tablas del apartado "Resultados de la exploración en base a los datos del análisis químico de los concentrados de batea"

Análisis mono y bivalente

Tabla 10 - Parámetros estadísticos monoelementales (bateas)

Tabla 11 - Matriz de correlación (bateas)

Tabla 11' - Matriz de correlación sobre valores logarítmicos (bateas)

Fig. 49 - Correlaciones del Au con La, Nd, Ta y W (bateas)

Fig. 50 - Correlación entre el peso del concentrado de batea y los elementos Au, La, Lu y U

Cartografía geoquímica monoelemental

Fig. 51 - Distribución del Au (bateas)

Fig. 52 - Distribución del Au y su concentración por muestra (bateas)

Fig. 53 - Distribución del La (bateas)

Fig. 54 - Distribución del Ce (bateas)

Fig. 55 - Distribución del Nd (bateas)

Fig. 56 - Distribución del Sm (bateas)

Fig. 57 - Distribución del Eu (bateas)

Fig. 58 - Distribución del Tb (bateas)

Fig. 59 - Distribución del Yb (bateas)

Fig. 60 - Distribución del Lu (bateas)

Fig. 61 - Distribución del Y (bateas)

Fig. 62 - Distribución del Sc (bateas)

Muestras anómalas

Fig. 63 - Muestras anómalas para Au (bateas)

Fig. 64 - Muestras anómalas para Ta (bateas)

Fig. 65 - Muestras anómalas para W (bateas)

Fig. 66 - Muestras anómalas para U (bateas)

Fig. 67 - Muestras anómalas para Th (bateas)

Fig. 68 - Muestras anómalas para Ce (bateas)

Fig. 69 - Muestras anómalas para La (bateas)

Fig. 70 - Muestras anómalas para Nd (bateas)

Fig. 71 - Muestras anómalas para Sm (bateas)

Fig. 72 - Muestras anómalas para Eu (bateas)

Fig. 73 - Muestras anómalas para Tb (bateas)

Fig. 74 - Muestras anómalas para Yb (bateas)

Fig. 75 - Muestras anómalas para Lu (bateas)

Fig. 76 - Factor de concentración de las TR Ligeras y su relación con la presencia de Au

Fig. 77 - Factor de concentración de las TR Pesadas y su relación con la presencia de Au

Análisis multivariante

Tabla 12 - Resultado del Análisis Factorial (bateas)

Fig. 78 - Distribución del Factor 1

Fig. 79 - Distribución interpolada del Factor 2 y en valores puntuales su carácter negativo

Fig. 80 - Distribución interpolada del carácter negativo del Factor 3 y en valores puntuales su aspecto negativo

Fig. 81 - Distribución del Factor 4

Formación de clases geoquímicas. Análisis Cluster

Fig. 82 - Distribución de las clases geoquímicas (bateas)

Tabla 13 - Clase 1 (bateas): zona externa al plutón. Parámetros estadísticos

Tabla 14 - Matriz de correlación de Clase 1

Tabla 15 - Clase 2 (bateas): diferenciados más básicos. Parámetros estadísticos

Tabla 16 - Matriz de correlación de Clase 2

Tabla 17 - Clase 3 (bateas): zona mineralizada. Parámetros estadísticos

Tabla 18 - Matriz de correlación de Clase 3

Tabla 19 - Clase 4 (bateas): diferenciados más ácidos. Parámetros estadísticos

Tabla 20 - Matriz de correlación de Clase 4

Figuras del "Estudio comparativo de los tres métodos de exploración. Conclusiones"

Fig. 83 - Relación del Au con los skarns mineralizados (Fe) del área de Burguillos del Cerro

Fig. 84 - Relación de las Tierras Raras con los skarns mineralizados (Fe) del área de Burguillos del Cerro

Fig. 85 - Comparación de las distribuciones de las Tierras Raras Ligeras (TRL) y el Au, en muestras de sedimentos y bateas

Fig. 86 - Comparación de las distribuciones de las Tierras Raras Pesadas (TRP) y el Au, en muestras de sedimentos y bateas